

Задачи анализа временных рядов, теория метода «Анализ Сингулярного Спектра» SSA

Яковлев Денис Михайлович, гр.21.Б04-мм

Санкт-Петербургский государственный университет
Прикладная математика и информатика
Вычислительная стохастика и статистические модели

3 курс (бак.) «Производственная практика
(научно-исследовательская работа)»
(Семестр 6)

Санкт-Петербург, 2024

- Цель работы — решение теоретических и прикладных задач анализа временных рядов с применением метода SSA.
- Используемый метод — SSA (Singular Spectrum Analysis), или «Анализ Сингулярного Спектра» (сокращенно, ACC).
- Задача — исследование поведения ошибок восстановления ряда в асимптотическом случае.

Определение 1 (Сигнал)

Вещественный сигнал $H = (h_0, h_1, \dots, h_n, \dots)$, управляется линейной рекуррентной формулой (ЛРФ) порядка d

$$h_n = \sum_{k=1}^d a_k h_{n-k}, \quad n \geq d, \quad a_d > 0.$$

$$H_N = (h_0, h_1, \dots, h_N).$$

Определение 2 (Помеха)

Помеха — $E_N = (e_0, \dots, e_N)$.

Определение 3 (Траекторная матрица)

Пусть $1 \leq L < N$ — длина окна, $K = N - L + 1$. Тогда траекторной матрицей сигнала $\mathbf{H}_N = (h_0, h_1, \dots, h_N)$ называется матрица \mathbf{H} размера $L \times K$ вида:

$$\begin{pmatrix} h_0 & h_1 & h_2 & \dots & h_{K-1} \\ h_1 & h_2 & h_3 & \dots & h_K \\ h_2 & h_3 & h_4 & \dots & h_{K+1} \\ \vdots & \vdots & \vdots & \ddots & \vdots \\ h_{L-1} & h_L & h_{L+1} & \dots & h_{N-1} \end{pmatrix}$$

Замечание 1 (Размеры матриц)

Считаем, что все рассматриваемые матрицы размера $L \times K$, если не оговорено иначе.

Замечание 2 (Ранг матрицы)

$d = \text{rank } \mathbf{H} < \min(L, K)$ — ранг траекторной матрицы \mathbf{H} , образованной от сигнала \mathbf{H} , управляемого ЛРФ порядка d .

Определение 4 (Матрица возмущённого сигнала $\mathbf{H}(\delta)$)

Пусть $\delta \in \mathbb{R}$ — формальный параметр возмущения, \mathbf{E} — траекторная матрица \mathbf{E}_N , $\mathbf{H} - \mathbf{H}_N$ соответственно. Тогда $\mathbf{H}(\delta) = \mathbf{H} + \delta \mathbf{E}$ — матрица возмущённого сигнала.

Замечание 3

$\mathbf{H}(0) = \mathbf{H}$.

Определение 5 (Возмущённая матрица для сингулярного разложения $\mathbf{A}(\delta)$)

$$\mathbf{A}(\delta) = \mathbf{H}(\delta)\mathbf{H}(\delta)^T = \mathbf{H}\mathbf{H}^T + \delta(\mathbf{H}\mathbf{E}^T + \mathbf{E}\mathbf{H}^T) + \delta^2\mathbf{E}\mathbf{E}^T,$$

$\mathbf{A}(\delta)$ — возмущённая матрица размера $L \times L$.

Замечание 4

$$\mathbf{A}(0) = \mathbf{A} = \mathbf{H}\mathbf{H}^T.$$

Определение 6 (Наименьшее и наибольшее ненулевые собственные числа μ_{\min}, μ_{\max})

Пусть $\{\mu_n\}_{n=1}^L$ — собственные числа \mathbf{A} . Тогда μ_{\min}, μ_{\max} — наименьшее и наибольшее ненулевые собственные числа.

Определение 7 (Собственные подпространства матрицы \mathbf{A})

Пусть $\{U_n\}_{n=1}^L$ — собственные вектора размера $L \times 1$ матрицы \mathbf{A} . Тогда \mathbb{U}_0 — собственное подпространство, соответствующее нулевым собственным числам, а \mathbb{U}_0^\perp — соответствует ненулевым собственным числам.

Определение 8 (Ортогональные проекторы собственных подпространств $\mathbf{P}_0^\perp, \mathbf{P}_0$)

Пусть \mathbf{I} — единичная матрица размера $L \times L$. Тогда \mathbf{P}_0 — ортогональный проектор на \mathbb{U}_0 , а $\mathbf{P}_0^\perp = \mathbf{I} - \mathbf{P}_0$ — ортогональный проектор на \mathbb{U}_0^\perp . $\mathbf{P}_0, \mathbf{P}_0^\perp$ — матрицы размера $L \times L$.

Замечание 5

$$\mathbf{P}_0^\perp \mathbf{H} = \mathbf{H}.$$

Замечание 6 (Про матричные нормы)

Полагаем $\|\cdot\|$ — спектральная норма. В иных случаях явно указываем норму.

Например, максимальная норма $\|\cdot\|_{\max}$.

Определение 9 (Псевдообратная матрица \mathbf{S}_0)

Пусть \mathbf{S}_0 — матрица размера $L \times L$, псевдообратная к $\mathbf{H}\mathbf{H}^T$.
Положим $\mathbf{S}_0^{(0)} = -\mathbf{P}_0$ и $\mathbf{S}_0^{(k)} = \mathbf{S}_0^k$ для $k \geq 1$, $\|\mathbf{S}_0^{(k)}\| = 1/\mu_{\min}^k$.

Определение 10 (Возмущение матрицы $\mathbf{A}(\delta)$)

Зависящую от δ часть матрицы $\mathbf{A}(\delta)$ будем обозначать $\mathbf{B}(\delta)$.
Тогда $\mathbf{B}(\delta) = \delta(\mathbf{H}\mathbf{E}^T + \mathbf{E}\mathbf{H}^T) + \delta^2\mathbf{E}\mathbf{E}^T$.

Определение 11 (Ошибка восстановления $r_i(N)$)

Пусть $\tilde{\mathbf{H}}_N(\delta) = (\tilde{h}_0(\delta), \tilde{h}_1(\delta), \dots, \tilde{h}_N(\delta))$ — восстановленный сигнал из $\mathbf{H}_N(\delta) = (h_0 + \delta e_0, h_1 + \delta e_1, \dots, h_N + \delta e_N)$, полученный методом SSA.

Тогда $r_i(N) = \tilde{h}_i(\delta) - h_i$, $0 \leq i < N$ — ошибка восстановления.

Определение 12 (Оператор ганкелевизации \mathcal{S})

\mathcal{S} — оператор диагонального усреднения (ганкелевизации).

Замечание 7 (Оператор ганкелевизации для траекторной матрицы сигнала)

$$\mathcal{S}\mathbf{H} = \mathbf{H}.$$

Постановка общей задачи

Постановка 1 (Общая задача)

Пусть \mathbf{N} — некоторая матрица размера $L \times L$. Так как $\|\mathcal{S}\mathbf{A}\|_{\max} \leq \|\mathbf{A}\|_{\max}$ и $\|\mathbf{A}\|_{\max} \leq \|\mathbf{A}\|$ для любой конечномерной матрицы \mathbf{A} :

$$\begin{aligned} \max_{0 \leq n < N} |r_i(N)| &= \|\mathcal{S}\Delta_\delta(\mathbf{H})\|_{\max} \leq \|\Delta_\delta(\mathbf{H})\|_{\max} \\ &\leq \left\| (\mathbf{P}_0^\perp(\delta) - \mathbf{P}_0^\perp - \mathbf{N})\mathbf{H}(\delta) \right\| + \left\| \mathbf{N}\mathbf{H}(\delta) + \delta\mathbf{P}_0^\perp\mathbf{E} \right\|_{\max}, \quad (1) \end{aligned}$$

где $\Delta_\delta(\mathbf{H}) = \mathbf{P}_0^\perp(\delta)\mathbf{H}(\delta) - \mathbf{P}_0^\perp\mathbf{H}$.

Общая задача: подобрать такую \mathbf{N} , чтобы правая часть (1) стремилась к нулю.

Формулировка 1 (Оценка нормы)

Оценить выражение сверху

$\forall n \in \mathbb{N} : \left\| \mathbf{P}_0^\perp(\delta) - \mathbf{P}_0^\perp - \sum_{p=1}^n \mathbf{W}_p(\delta) \right\|$, $\mathbf{W}_p(\delta)$ — матрицы
размера $L \times L$ такие, что

$$\mathbf{W}_p(\delta) = (-1)^p \sum_{l_1 + \dots + l_{p+1} = p, l_j \geq 0} \mathbf{W}_p(l_1, \dots, l_{p+1}; \delta),$$

а

$$\mathbf{W}_p(l_1, \dots, l_{p+1}; \delta) = \mathbf{S}_0^{(l_1)} \mathbf{B}(\delta) \mathbf{S}_0^{(l_2)} \dots \mathbf{S}_0^{(l_p)} \mathbf{B}(\delta) \mathbf{S}_0^{(l_{p+1})}.$$

Воспользуемся вспомогательными теоремами и леммами из [2].

Теорема 1 (Теорема 2.1)

Пусть $\delta_0 > 0$ и

$$\|\mathbf{B}(\delta)\| < \mu_{\min}/2$$

для всех $\delta \in (-\delta_0, \delta_0)$. Тогда для возмущённого проектора $\mathbf{P}_0^\perp(\delta)$ верно представление:

$$\mathbf{P}_0^\perp(\delta) = \mathbf{P}_0^\perp + \sum_{p=1}^{\infty} \mathbf{W}_p(\delta).$$

Теорема 2 (Теорема 2.3)

Если $\delta_0 > 0$ и $\frac{\|\mathbf{B}(\delta)\|}{\mu_{\min}} < \frac{1}{4}$ для всех $\delta \in (-\delta_0, \delta_0)$, то проектор $\mathbf{P}_0^\perp(\delta)$ существует и

$$\left\| \mathbf{P}_0^\perp(\delta) - \mathbf{P}_0^\perp \right\| \leq 4C \frac{\|\mathbf{S}_0 \mathbf{B}(\delta) \mathbf{P}_0\|}{1 - 4 \|\mathbf{B}(\delta)\| / \mu_{\min}},$$

где $C = e^{1/6} / \sqrt{\pi} \approx 0.667$.

Лемма 1 (Лемма 6.1)

Если $0 < \beta < 1/4$, $k \geq 0$, то $\sum_{p=k}^{\infty} \binom{2p}{p} \beta^p \leq C \frac{(4\beta)^k}{1 - 4\beta}$, где $C = e^{1/6} / \sqrt{\pi}$.

Следствие 1

В условиях Теоремы 2, $\forall n \in \mathbb{N}$:

$$\left\| \mathbf{P}_0^\perp(\delta) - \mathbf{P}_0^\perp - \sum_{p=1}^n \mathbf{W}_p(\delta) \right\| \leq 4^{n+1} C \left(\frac{\|\mathbf{B}(\delta)\|}{\mu_{\min}} \right)^{n+1} \frac{1}{1 - 4 \|\mathbf{B}(\delta)\| / \mu_{\min}},$$

где $C = e^{1/6} / \sqrt{\pi}$.

Постановка 2 (Линейный сигнал с гармониками)

Рассмотрим при $n = 0, 1, \dots, N - 1$ линейный сигнал $h_n = \theta_1 n + \theta_0$, где $\theta_1 \neq 0$, и помеху, которая является линейной комбинацией гармоник

$$e_n = \sum_{l=1}^r \tau_l \cos(2\pi n \omega_l + \varphi_l),$$

где $\tau_l \neq 0$, $\tau_l \neq \tau_p$ и $\omega_l \neq \omega_p$ при $l \neq p$ и $0 < \omega_l < 1/2$.

Пусть $\tilde{h}_0(\delta), \dots, \tilde{h}_{N-1}(\delta)$ — результаты восстановления ряда $\{h_n + \delta e_n\}_{n=0}^{N-1}$ с помощью метода SSA, а $r_n(N) = \tilde{h}_n(\delta) - h_n$. Тогда теорема из [3] утверждает, что для любого $\delta \in \mathbb{R}$ при $N \rightarrow \infty$.

$$\max_{0 \leq n < N} |r_n(N)| = O(N^{-1}).$$

Формулировка и известные результаты

Формулировка 2

Обобщить результат [3] с $L = K$ при $\mathbf{N} = \mathbf{W}_1$ до $L/N \rightarrow \alpha \in (0, 1)$ с помощью выбора $\mathbf{N} = \mathbf{W}_1 + \mathbf{W}_2$.

Воспользуемся вспомогательными теоремами и леммами из [3]

Лемма 2 (Лемма 1)

При $N \rightarrow \infty$ имеет место соотношение $\|\mathbf{H}\mathbf{E}^T\|_{\max} = O(N)$.

Лемма 3 (Лемма 2)

При $N \rightarrow \infty$ имеет место соотношение $\|\mathbf{P}_0^\perp \mathbf{E}\|_{\max} = O(N^{-1})$.

Лемма 4 (Лемма 3)

При $N \rightarrow \infty$ имеет место соотношение $\|\mathbf{S}_0 \mathbf{E}\| = O(N^{-4})$.

Полученные результаты

Замечание 8

При $\mathbf{N} = \mathbf{W}_1 + \mathbf{W}_2$ рассматривается неравенство

$$\max_{0 \leq i < N} |r_i(N)| \leq \left\| \left(\mathbf{P}_0^\perp(\delta) - \mathbf{P}_0^\perp - (\mathbf{W}_1 + \mathbf{W}_2) \right) \mathbf{H}(\delta) \right\| + \left\| (\mathbf{W}_1 + \mathbf{W}_2) \mathbf{H}(\delta) + \delta \mathbf{P}_0^\perp \mathbf{E} \right\|_{\max}.$$

Предложение 1

Пусть $L/N \rightarrow \alpha \in (0, 1)$. Тогда для любого δ

$$\left\| \left(\mathbf{P}_0^\perp(\delta) - \mathbf{P}_0^\perp - \mathbf{W}_1(\delta) - \mathbf{W}_2(\delta) \right) \mathbf{H}(\delta) \right\| = O(N^{-1}).$$

Предложение 2

В условиях Предложения 1

$$\|(\mathbf{W}_1(\delta) + \mathbf{W}_2(\delta))\mathbf{H}(\delta)\|_{\max} = O(N^{-1}).$$

Приложение. Результаты вычислительных экспериментов

Формулировка 3

Проиллюстрировать теоретический результат задачи №2 для ряда

$$\tilde{h}_n = n + 3 \cos(2\pi n\omega + \varphi),$$

где $\omega = 1/4$, $\varphi = \pi/8$, $n = 0, 1, \dots, N - 1$, $N = 9 \dots 200$, длина окна $L = \lfloor N/3 \rfloor$.

Приложение. Результаты вычислительных экспериментов

Максимальная ошибка восстановления ряда $L \sim N/3$

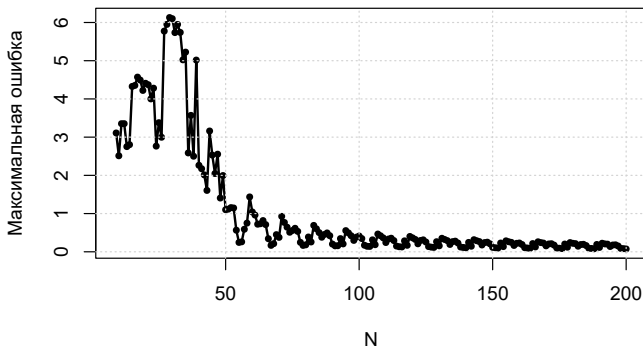


Figure 1: Максимальные ошибки восстановления ряда в зависимости от длины ряда при $\tilde{h}_n = n + 3 \cos(\pi n/2 + \pi/8)$.

Приложение. Результаты вычислительных экспериментов

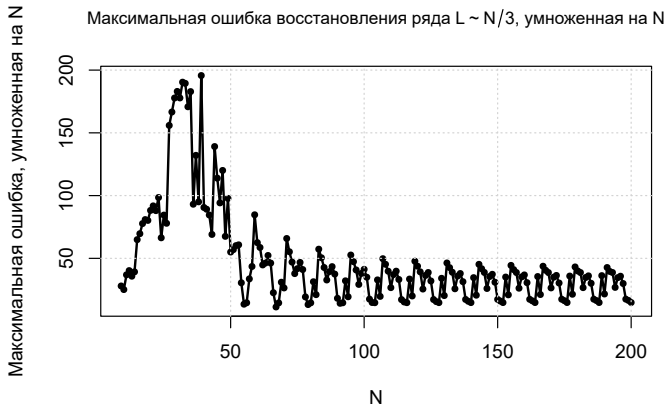





Figure 2: Максимальные ошибки восстановления ряда, умноженные на N , в зависимости от длины ряда N для

- ❶ Поставлена общая теоретическая задача;
- ❷ Дана оценка $\|\mathbf{P}_0^\perp(\delta) - \mathbf{P}_0^\perp - \sum_{p=1}^n \mathbf{W}_p(\delta)\| \forall n \in \mathbb{N}$;
- ❸ Обобщён результат [3] асимптотической разделимости линейного сигнала с линейной комбинацией гармоник с $L = K$ до $L/N \rightarrow \alpha \in (0, 1)$;
- ❹ Проведён вычислительный эксперимент, подтверждающий полученный результат.

-  GOLYANDINA, N., NEKRUTKIN, V. AND ZHIGLJAVSKY, A. (2001). *Analysis of Time Series Structure. SSA and Related Techniques*. Champan & Hall/CRC, Boca Raton-London-New York-Washington D.C.
-  NEKRUTKIN, V. (2010). *Perturbation expansions of signal subspaces for long signals*. Statistics and Its Interface. 3, 297–319.
-  Н.Зенкова, В.Некруткин. Об асимптотической разделимости линейных сигналов с гармониками методом анализа сингулярного спектра, Вестник СПбГУ. Математика. Механика. Астрономия. 2022. Т. 9 (67). Вып. 2.